

九州大学工学部 正員 山崎徳也
九州大学工学部 学生員 ○金子忠男

1. 緒言 道路橋や鉄道橋の曲線部に見受けられるいわゆる扇形平板は、多くの場合、その直線辺が橋台や橋脚により単純支持され、また中間で多數の主筋により円弧状に弾性支持される一方で連続板と見做しえ、かかる連続板が等方性である場合について既に報告¹⁾した。しかし、実際の床版構造では、各々の主筋により分割されるパネルがさらに縦横の床組材をもつもの、あるいはコンクリート床版では鉄筋量が方向により異なるものなどがある。したがって、厳密には扇形床版は接線方向と法線方向とで曲げ剛性の異なる曲線直交異方性板と見做すのが妥当である。そこで、本研究は一方の直線辺が単純支持され、また中間を連続円形曲りばりやラーメンの円弧部材列により円弧状に弾性支持される曲線直交異方性板の厳密解法を提示し、この種複合構造物の合理的な設計に資せんとするものである。なお、文献¹⁾と同様本法には薄板理論が適用できるものと仮定する。

2. 解法 図-1に示すごとく、全開角 α (Rad.) なる扇形板 $ABDC$ が、直線辺 AB , CD に沿って単純支持され、かつ中間 $(\ell+1)$ 本の連続円形曲りばりあるいはラーメンの円弧部材列により弾性支持されているものとする。これらの弾性支持ばりに対し、中心に近い順に $0, 1, \dots, \ell, \dots, n, \dots, \ell+1$ なる番号を付し、これらと中心 O との間の距離をそれぞれ $r_0, r_1, \dots, r_\ell, \dots, r_n, \dots, r_{\ell+1}$ とする。また、これらの弾性ばりにより分割される各パネルを①, ②, ③, ④, ⑤, ⑥とする。しかるとき、板の中立面上に中心 O を原点とする円筒座標 (r, θ, z) を導入すれば、パネル⑥の z 軸方向のたわみ w_z を求めるための基礎微分方程式は次式²⁾を与えられる。
(a)

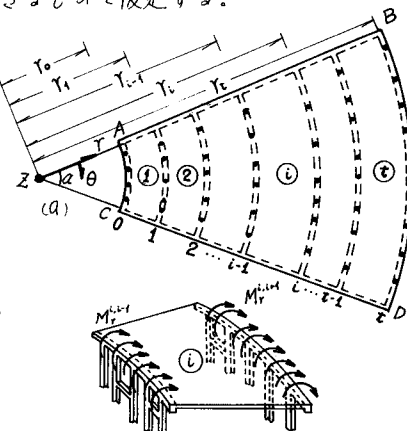


図-1

$$\frac{\partial^4 w_z}{\partial r^4} + \frac{2}{r} \frac{\partial^3 w_z}{\partial r^3} - \frac{\lambda_r^2}{r^2} \frac{\partial^2 w_z}{\partial r^2} + \frac{2x_r}{r^2} \frac{\partial^3 w_z}{\partial r \partial \theta^2} + \frac{\lambda_r^2}{r^3} \frac{\partial^2 w_z}{\partial r \partial \theta} - \frac{2x_r}{r^3} \frac{\partial^3 w_z}{\partial r \partial \theta^3} + \frac{2(x_r + \lambda_r^2)}{r^4} \frac{\partial^2 w_z}{\partial \theta^2} + \frac{\lambda_r^2}{r^4} \frac{\partial^2 w_z}{\partial \theta^4} = \frac{p_z(r, \theta)}{D_{rz}} \quad (1)$$

$$\lambda_r^2 = D_{rz}/D_{rc}, \quad x_r = V_{rc} + D_{rc}/D_{rz}, \quad D_{rz} = E_r p_{rz}^3 / 12(1 - \nu_{rc}), \quad D_{rc} = E_r p_{rz}^3 / 12(1 - \nu_{rc}), \quad D_{rc} = G_r p_{rz}^3 / 6,$$

E_r, E_{rc}, G_r ; パネル⑥の r 方向, θ 方向のヤング率およびせん断弾性係数, p_{rz} ; パネル⑥の板厚, V_{rc}, ν_{rc} ; パネル⑥の r 方向, θ 方向のポアソン比, $p_z(r, \theta)$; パネル⑥の任意垂直荷重
式(1)の一般解は次のとおり級数解で与えられる。

$$w_z = \sum_{n=1}^{\infty} (A_{n1} r^{\omega_{1n}} + B_{n1} r^{\omega_{2n}} + C_{n1} r^{\omega_{3n}} + D_{n1} r^{\omega_{4n}}) \sin \alpha_n \theta + 1/D_{rz} \sum_{n=1}^{\infty} F_{n1}(r) \sin \alpha_n \theta \quad (2)$$

ここに, $A_{n1} \sim D_{n1}$; 積分定数, $\alpha_n = n\pi/\alpha$, $n=1, 2, \dots$, $F_{n1}(r) = 2r^4 / [\alpha n^2 (\lambda_r^2 \alpha_n^2 - 2(x_r + \lambda_r^2))] \int_0^r p_z(r') \sin \alpha_n \theta d\theta$, $\omega_{1n}, \omega_{2n} = 1 \pm \sqrt{(\alpha_n^2 + \lambda_r^2)/2}$, $\omega_{3n}, \omega_{4n} = 1 \pm \sqrt{(\alpha_n^2 - \lambda_r^2)/2}$, $\lambda_r^2 = 1 + 2\alpha_n^2 \lambda_r^2 + \lambda_r^2$, $\lambda_r^2 = \alpha_n^2 - 4(\alpha_n^2 - 1)\lambda_r^2$

式(2)の右辺第一項は式(1)の余関数であり、積分定数 $A_{n1} \sim D_{n1}$ はパネル⑥の境界条件より決定される。パネル⑥はその両端で弾性支持され、かつ端セメントの作用を受け(図-1(b)参照), かかる場合の境界条件は次式のとくである。

$$\begin{aligned} (W_r)_{r=r_i} &= \delta_{i-1}, & -D_{rr} \left\{ \frac{\partial^2 W_r}{\partial r^2} + \nu_{rr} \lambda_r^i \left(\frac{1}{r} \frac{\partial W_r}{\partial r} + \frac{1}{r^2} \frac{\partial^2 W_r}{\partial \theta^2} \right) \right\}_{r=r_i} &= M_r^{i,i-1}, \\ (W_r)_{r=r_i} &= \delta_i, & D_{rr} \left\{ \frac{\partial^2 W_r}{\partial r^2} + \nu_{rr} \lambda_r^i \left(\frac{1}{r} \frac{\partial W_r}{\partial r} + \frac{1}{r^2} \frac{\partial^2 W_r}{\partial \theta^2} \right) \right\}_{r=r_i} &= M_r^{i,i+1}. \end{aligned} \quad (3)$$

式(3)の δ_{i-1} , δ_i , $M_r^{i,i-1}$, $M_r^{i,i+1}$ はともに θ の関数である。次のとおり級数で表わすものと仮定する。

$$\delta_{i-1} = \sum_{n=1}^{\infty} S_{n-1} \sin n\theta, \quad \delta_i = \sum_{n=1}^{\infty} S_n \sin n\theta, \quad M_r^{i,i-1} = \sum_{n=1}^{\infty} M_{rn}^{i,i-1} \sin n\theta, \quad M_r^{i,i+1} = \sum_{n=1}^{\infty} M_{rn}^{i,i+1} \sin n\theta. \quad (4)$$

ここに, S_{n-1} , S_n , $M_{rn}^{i,i-1}$, $M_{rn}^{i,i+1}$ は n のみの関数である。式(2)および式(4)を式(3)に代入すれば、積分定数 $A_m \sim D_m$ に関する 4 元連立方程式がえられ、これを解いて次の結果を得る。

$$\begin{aligned} E_m A_m &= G_m M_{rn}^{i,i-1}/D_{rr} + G_m M_{rn}^{i,i+1}/D_{rr} + G_m S_{n-1} + G_m S_n + f_m S_{n-1} + f_m S_n, \\ E_m C_m &= C_m M_{rn}^{i,i-1}/D_{rr} + C_m M_{rn}^{i,i+1}/D_{rr} + f_m \partial_{\theta} S_{n-1} + f_m \partial_{\theta} S_n + G_m \partial_{\theta} D_{rr}, \\ E_m D_m &= D_m M_{rn}^{i,i-1}/D_{rr} + D_m M_{rn}^{i,i+1}/D_{rr} + f_m S_{n-1} + f_m S_n + G_m \partial_{\theta} S_{n-1} + G_m \partial_{\theta} S_n. \end{aligned} \quad (5)$$

ここに, $A_m \sim A_m$, $C_m \sim C_m$, $G_m \sim G_m$ および E_m は n のみの関数, $\eta_r = D_{rr}/D_{rr}$; D_{rr} : 基準板剛度

式(5)を式(2)に代入すれば、パネル④のたわみ W_r は次式のとく表現される。

$$W_r = 1/D_{rr} \sum_{n=1}^{\infty} [A_m(r) M_{rn}^{i,i-1} + t_m(r) M_{rn}^{i,i+1} + \eta_r U_m(r) D_{rr} S_{n-1} + \eta_r V_m(r) D_{rr} S_n + \{G_m(r) + F_m(r)\}] \sin n\theta \quad (6)$$

ここに, $A_m(r)$, $t_m(r)$, $U_m(r)$, $V_m(r)$, $G_m(r)$ および N の関数である。

式(6)における $M_{rn}^{i,i-1}$, $M_{rn}^{i,i+1}$, S_{n-1} , S_n は、扇形板とこれを弹性支持するはり部材列との間に成立すべき次の条件より求められる。すなはち、(1)板を弹性支持するはり部材列のたわみ δ_i はパネル④および④から伝達される板反力および曲げモーメントを同時に外荷重とともに受けたときに他よりない。

(2)パネル④, ④および弹性支持はりとの結合線上において、パネル④, ④の r 方向にたわみ角と弹性支持はりとのねじれ回転角とはそれぞれ相等しい。

いま、図-2 に示すとおり円形曲りはりかきの両端で曲げに対して单纯支持、ねじれに付けて固定されているものとすれば、外荷重 $\bar{q}_r(\theta)$, $M_r(\theta)$ によるたわみおよびねじれ回転角は文献(2)より次式で与えられる。

$$\begin{aligned} \delta_i &= \sum_{j=1}^{\infty} S_{nj} \sin n\theta = \frac{K_r}{\alpha D_{rr}} \sum_{j=1}^{\infty} (Y_r^j A_m \bar{q}_r - Y_r^j A_m M_r - \frac{2}{\alpha} Y_r^j A_m \sum_{j=1}^{\infty} R_{ij} \sin n\theta_{ij}) \\ &\quad - \frac{2}{\alpha} Y_r^j A_m \sum_{j=1}^{\infty} M_{ij}^j \cos n\theta_{ij} + \frac{2}{\alpha} Y_r^j A_m \sum_{j=1}^{\infty} M_{ij}^j \sin n\theta_{ij}) \sin n\theta \end{aligned} \quad (7)$$

$$\begin{aligned} \varphi_i &= \sum_{j=1}^{\infty} S_{nj} \sin n\theta = -\frac{K_r}{\alpha D_{rr}} \sum_{j=1}^{\infty} (Y_r^j A_m \bar{q}_r - Y_r^j A_m M_r - \frac{2}{\alpha} Y_r^j A_m \sum_{j=1}^{\infty} R_{ij} \sin n\theta_{ij}) \\ &\quad - \frac{2}{\alpha} Q_r A_m \sum_{j=1}^{\infty} M_{ij}^j \cos n\theta_{ij} + \frac{2}{\alpha} \Delta \sum_{j=1}^{\infty} M_{ij}^j \sin n\theta_{ij}) \sin n\theta \end{aligned} \quad (8)$$

ここに, $X_r = Y_r \alpha D_{rr}/E_r I_{r\theta}$, $A_m = (a_m^2 + 1/M_r)/\alpha^2 (a_m^2 - 1)^2$, $A_m = (1 + 1/M_r)/(a_m^2 - 1)^2$,

$\Delta_m = (a_m^2/M_r + 1)/(a_m^2 - 1)^2$, $M_r = G_r J_r/E_r I_{r\theta}$, $E_r I_{r\theta}$, $G_r J_r$; はり部材列の曲げおよびねじれ剛性, $\bar{q}_r = \frac{2}{\alpha} \int_0^{\alpha} q_r(\theta) \sin n\theta d\theta$, R_{ij} , M_{ij}^j , M_{ij}^j ; はり部材列中間柱の垂直反力および r 方向反力モーメント式(7)(8); はりの代りにパネル④, ④より伝達される板反力の合力 ($\bar{V}_r^{i,i-1} - \bar{V}_r^{i,i+1}$) を用ひ, $M_r(\theta)$ の代りに端モーメントの総和 ($M_r^{i,i-1} + M_r^{i,i+1}$) を適用すれば、本題のはり部材列のたわみ δ_i とねじれ回転角 φ_i が求められる。一方、 r 方向板反力 V_r とたわみ W_r の間に成立する周知の関係式に式(6)を代入すれば $\bar{V}_r^{i,i-1}$, $\bar{V}_r^{i,i+1}$ が M_r と S_n の関数となる次のとく求まる。

$$\bar{V}_r^{i,i-1} = \sum_{n=1}^{\infty} \bar{V}_{rn}^{i,i-1} \sin n\theta = -\eta_r D_{rr} \sum_{n=1}^{\infty} [\bar{A}_{rn}^{i,i-1} M_{rn}^{i,i-1} + \bar{T}_{rn}^{i,i-1} M_{rn}^{i,i-1} + \eta_r \bar{U}_{rn}^{i,i-1} (K_r) D_{rr} S_{n-1} + \{\bar{G}_{rn}^{i,i-1} (K_r) + \bar{F}_{rn}^{i,i-1} (K_r)\}] \sin n\theta \quad (9)$$

$$\bar{V}_r^{i,i+1} = \sum_{n=1}^{\infty} \bar{V}_{rn}^{i,i+1} \sin n\theta = -\eta_r D_{rr} \sum_{n=1}^{\infty} [\bar{A}_{rn}^{i,i+1} M_{rn}^{i,i+1} + \bar{T}_{rn}^{i,i+1} M_{rn}^{i,i+1} + \eta_r \bar{U}_{rn}^{i,i+1} (K_r) D_{rr} S_n + \eta_r \bar{V}_{rn}^{i,i+1} (K_r) D_{rr} S_{n-1} + \{\bar{G}_{rn}^{i,i+1} (K_r) + \bar{F}_{rn}^{i,i+1} (K_r)\}] \sin n\theta$$

ここに, $\bar{A}_{rn}^{i,i-1}$, $\bar{T}_{rn}^{i,i-1}$, $\bar{U}_{rn}^{i,i-1}$, $\bar{G}_{rn}^{i,i-1}$, $\bar{F}_{rn}^{i,i-1}$, $\bar{A}_{rn}^{i,i+1}$, $\bar{T}_{rn}^{i,i+1}$, $\bar{U}_{rn}^{i,i+1}$, $\bar{V}_{rn}^{i,i+1}$ は r および n の関数である。

(1) $= \infty$?, 式(7)と式(9)を用ひれば、上記条件(1)は次式のとくあらわされる。

$$\bar{A}_r^{i,i-1} M_{rn}^{i,i-1} + \bar{T}_r^{i,i-1} M_{rn}^{i,i-1} + \bar{A}_r^{i,i+1} M_{rn}^{i,i+1} + \bar{T}_r^{i,i+1} M_{rn}^{i,i+1} + \bar{U}_r^{i,i-1} (K_r) D_{rr} S_{n-1} + \bar{V}_r^{i,i-1} (K_r) D_{rr} S_n = \bar{U}_r^{i,i+1} (K_r) D_{rr} S_{n-1} + \bar{V}_r^{i,i+1} (K_r) D_{rr} S_n = \bar{U}_r^{i,i-1} (K_r) + \frac{2}{\alpha} Y_r^2 \sum_{j=1}^{\infty} R_{ij} \sin n\theta_{ij}$$

$$+ \frac{2}{\alpha} K_i \Delta n \sum_{j=1}^m M_{ij}^k \cos \alpha_i \theta_{ij} - \frac{2}{\alpha} K_i \Delta n \sum_{j=1}^m M_{ij}^k \sin \alpha_i \theta_{ij}$$

ここに、 $\bar{M}_i(K) \sim \bar{\bar{M}}_i(K)$, $\bar{U}_i(K) \sim \bar{\bar{U}}_i(K)$ および $\bar{T}_i(K)$ は K 上の f の関数である。

次に、条件(2)は $Y_i = (\partial w_i / \partial r)_{r=r_i} = (\partial w_{i+1} / \partial r)_{r=r_i}$ とあらわされるゆえ、この第一式に式(9)を式(8)1=用いた結果と式(6)を代入する、次の関係式を得る。

$$\begin{aligned} A_i(K) M_{in}^{i+1} + \bar{A}_i(K) M_{in}^{i+1} + \bar{\bar{A}}_i(K) M_{in}^{i+1} + \bar{\bar{\bar{A}}}_i(K) M_{in}^{i+1} + S_i(K) D_{in} \delta_{n+1} + \bar{S}_i(K) D_{in} \delta_{n+1} &= \bar{P}_i(K) + \frac{2}{\alpha} \Delta n \sum_{j=1}^m R_{ij} \sin \alpha_i \theta_{ij} \\ + \frac{2}{\alpha} K_i \Delta n \sum_{j=1}^m M_{ij}^k \cos \alpha_i \theta_{ij} - \frac{2}{\alpha} K_i \Delta n \sum_{j=1}^m M_{ij}^k \sin \alpha_i \theta_{ij} \end{aligned} \quad (11)$$

ここに、 $A_i(K) \sim \bar{A}_i(K)$, $S_i(K) \sim \bar{S}_i(K)$ および $\bar{P}_i(K)$ は K 上の f の関数である。

同様に、第二式に式(6)を代入すれば次式がえられる。

$$\begin{aligned} A_n^{i+1}(K) M_{in}^{i+1} + \bar{A}_n^{i+1}(K) M_{in}^{i+1} - \bar{U}_n^{i+1}(K) M_{in}^{i+1} - \bar{U}_{n+1}^{i+1}(K) M_{in}^{i+1} + \bar{U}_n^{i+1}(K) D_{in} \delta_{n+1} + \bar{U}_{n+1}^{i+1}(K) D_{in} \delta_{n+1} \\ - \bar{U}_n^{i+1}(K) D_{in} \delta_{n+1} = \bar{T}_i(K) \end{aligned} \quad (12)$$

ここに、 $A_n^{i+1}(K) \sim \bar{A}_n^{i+1}(K)$, $\bar{T}_i(K)$ は K 上の f の関数であり、右肩(1)は $r=112$ の一次微係数を示す。式(10)～(12)はパネル①, ④の端モーメントおよび端たわみと両パネルを結合するはり部材列の中間支柱に生ずる不静定反力との関係式で、これらの3条件式が各弹性ばかり毎に成立する。

弹性支持ばかりには中間に m 個の支柱を有するゆえ(図-2 参照)、各支柱頭部におけるそれぞれの変形条件、すなはち、(a)柱頭の垂直変位と柱頭直上のはり部材列のたわみ加算(11)こと、(b)柱頭の接線方向のたわみ角と柱頭直上のはり部材列の接線方向のたわみ角加算(11)こと、および(c)柱頭の法線方向のたわみ角と柱頭直上のはり部材列のねじれ回転角加算(11)ことの3条件が成立するが、これらは文献(2)と同様の演算過程により次のように算定されることがわかる。

$$\left. \begin{aligned} \frac{2}{\alpha} \sum_{j=1}^m H_{jk}^{ic} R_{ij} + \frac{2}{\alpha} \sum_{j=1}^m H_{jk}^{ic} M_{ij}^k - \frac{2}{\alpha} \sum_{j=1}^m H_{jk}^{ic} M_{ij}^k &= K_i D_{ik}^{ic} - D_{ik}^{ic} - \frac{E_i I_{ik}}{r_i} d_{ik}^i, (k=1, 2, \dots, m) \\ \frac{2}{\alpha} \sum_{j=1}^m H_{jk}^{ic} R_{ij} + \frac{2}{\alpha} \sum_{j=1}^m H_{jk}^{ic} M_{ij}^k - \frac{2}{\alpha} \sum_{j=1}^m H_{jk}^{ic} M_{ij}^k &= K_i D_{ik}^{ic} - D_{ik}^{ic} - \frac{E_i I_{ik}}{r_i} T_{ik}^i, (k=1, 2, \dots, m) \\ \frac{2}{\alpha} \sum_{j=1}^m L_{jk}^{ic} R_{ij} + \frac{2}{\alpha} \sum_{j=1}^m L_{jk}^{ic} M_{ij}^k &= Y_i K_{ik}^{ic} - K_{ik}^{ic} - \frac{E_i I_{ik}}{r_i} T_{ik}^i, (k=1, 2, \dots, m) \end{aligned} \right\} \quad (13)$$

ここに、形状定数；

$$\begin{aligned} H_{jk}^{ic} &= \sum_{n=1}^m \Delta n_i \sin \alpha_i \theta_{nj} \sin \alpha_i \theta_{nk}, & H_{jk}^{ic} &= \sum_{n=1}^m \Delta n_i \cos \alpha_i \theta_{nj} \sin \alpha_i \theta_{nk}, & H_{jk}^{ic} &= \sum_{n=1}^m \Delta n_i \sin \alpha_i \theta_{nj} \sin \alpha_i \theta_{nk}, \\ F_{jk}^{ic} &= \sum_{n=1}^m \Delta n_i \sin \alpha_i \theta_{nj} \cos \alpha_i \theta_{nk}, & F_{jk}^{ic} &= \sum_{n=1}^m \Delta n_i \cos \alpha_i \theta_{nj} \cos \alpha_i \theta_{nk}, & F_{jk}^{ic} &= \sum_{n=1}^m \Delta n_i \sin \alpha_i \theta_{nj} \cos \alpha_i \theta_{nk}, \\ L_{jk}^{ic} &= \sum_{n=1}^m \Delta n_i \sin \alpha_i \theta_{nj} \sin \alpha_i \theta_{nk}, & L_{jk}^{ic} &= \sum_{n=1}^m \Delta n_i \cos \alpha_i \theta_{nj} \cos \alpha_i \theta_{nk}, & L_{jk}^{ic} &= \sum_{n=1}^m \Delta n_i \sin \alpha_i \theta_{nj} \sin \alpha_i \theta_{nk}. \\ \text{荷重項;} D_{ik}^{ic} &= \sum_{n=1}^m \Delta n_i (\bar{V}_{in}^{i+1} - \bar{V}_{in}^{i+1}) \sin \alpha_i \theta_{ik}, & D_{ik}^{ic} &= \sum_{n=1}^m \Delta n_i (M_{in}^{i+1} + M_{in}^{i+1}) \sin \alpha_i \theta_{ik}, & D_{ik}^{ic} &= \sum_{n=1}^m \Delta n_i (\bar{V}_{in}^{i+1} - \bar{V}_{in}^{i+1}) \cos \alpha_i \theta_{ik}, \\ \bar{D}_{ik}^{ic} &= \sum_{n=1}^m \Delta n_i (M_{in}^{i+1} + M_{in}^{i+1}) \cos \alpha_i \theta_{ik}, & K_{ik}^{ic} &= \sum_{n=1}^m \Delta n_i (\bar{V}_{in}^{i+1} - \bar{V}_{in}^{i+1}) \sin \alpha_i \theta_{ik}, & K_{ik}^{ic} &= \sum_{n=1}^m \Delta n_i (M_{in}^{i+1} + M_{in}^{i+1}) \sin \alpha_i \theta_{ik}. \end{aligned}$$

すなはち、 D_{ik}^{ic} , T_{ik}^i , F_{ik}^{ic} ははり部材列の中間支柱の垂直変位量および接線, 法線方向の回転角。

全ての弹性支持ばかりにつき式(10)～(12)の連続条件式と式(3)の変形条件式を求め、これらを連立して解けば、未知不静定量 M_{in} , δ_{in} , R_{ij} , M_{ij}^k , M_{ij}^k がえられることがわかる。連立方程式には未知数の単独項と級数和の項とが同時に含まれるゆえ、その演算は一般に試算による収束計算となる。すなはち、えられた結果を式(6)に代入すれば、パネル①のたわみが算定され、さらにたわみ w_i と扇形板の断面諸量に関する既往の関係式からたわみ角や曲げモーメント、ねじれモーメントなどがえられ、本題の連続扇形板が解けまとことになる。

3 連続円形曲りばかりの弹性支持された2スパン連続扇形板

算例と12 図-3に示すごとく、直線辺AB, CDはより強制辺AC, BDとも单纯支持され、

かつ中間に τ ($m+1$) スパンの連続円形曲りばかり EF に弾性支持される 2 スパン連続扇形板 ABCD の解法を示せば、次のとおりである。辺 AC, EF, BD:番号 0, 1, 2 を付し、中心 O までの距離をそれぞれ r_0 , r_1 , r_2 とする。上述のこととく、板は AC, BD の単純支持されているゆえ、次の境界条件がえられる。

$$\delta_{n,0} = 0, M_{n,0}^{t,0} = 0 \quad \text{および} \quad \delta_{n,2} = 0, M_{n,2}^{t,2} = 0 \quad (44)$$

また、板は 1 本の連続円形曲りばかりに τ 弹性支持されているゆえ、図-3 に示す如き、2.2.2. 項述べた連続条件式(10)～(12)は次の内容となる。

$$A_1(n)M_{n,0}^{t,2} + A_2(n)M_{n,1}^{t,1} + Q_1(n)Dro\delta_{n,1} = P_1(n) + \frac{2}{\alpha} r_1^2 \Delta n_1 \sum_{j=1}^m R_{ij} \sin \alpha_i \theta_{ij} \quad (45)$$

$$A_1(n)M_{n,0}^{t,2} + A_1(n)M_{n,1}^{t,1} + Q_1(n)Dro\delta_{n,1} = \tilde{P}_1(n) + \frac{2}{\alpha} \Delta n_1 \sum_{j=1}^m R_{ij} \sin \alpha_i \theta_{ij} \quad (46)$$

$$t_{n,1}^{t,0}(n)M_{n,0}^{t,2} - t_{n,2}^{t,0}(n)M_{n,1}^{t,1} + q_1 / U_{n,1}^{t,0}(n) - U_{n,2}^{t,0}(n)Dro\delta_{n,1} = \tilde{P}_1(n) \quad (47)$$

式(45)～(47)を連立して解けば、未知量 $M_{n,0}^{t,2}, M_{n,1}^{t,1}$ および $\delta_{n,1}$ を求めれば、次の結果を得る。

$$M_{n,0}^{t,2} = -I_1(n)/H_1(n) \sum_{j=1}^m R_{ij} \sin \alpha_i \theta_{ij} + \tilde{P}_1(n)/H_1(n) \quad (48) \quad M_{n,1}^{t,1} = f_1(n) \sum_{j=1}^m R_{ij} \sin \alpha_i \theta_{ij} + g_1(n) \quad (49)$$

$$Dro\delta_{n,1} = G_1(n) \sum_{j=1}^m R_{ij} \sin \alpha_i \theta_{ij} - \tilde{P}_1(n) \quad (50) \quad \text{ここで } I_1, H_1, f_1, g_1, G_1, P_1, \tilde{P}_1 \text{ は } n \text{ および } m \text{ の関数である。}$$

式(9)に式(48)～(50)を代入すれば、パネル① および② から連続円形曲りばかりに伝達された反力の合計が次式で与えられる。 $V_{n,1}^{t,1} - V_{n,2}^{t,2} = -C_1(n) \sum_{j=1}^m R_{ij} \sin \alpha_i \theta_{ij} + \tilde{P}_1(n) \quad (51) \quad \text{ここで } C_1, \tilde{P}_1 \text{ は } n \text{ および } m \text{ の関数である。}$

まことに、式(49), (50) および、パネル①, ② から連続円形曲りばかりに伝達された端モーメントの総和が求めまり、次式のこととくである。 $M_{n,0}^{t,2} + M_{n,1}^{t,1} = H_1(n) \sum_{j=1}^m R_{ij} \sin \alpha_i \theta_{ij} + \tilde{P}_1(n) \quad (52) \quad \text{ここで } H_1, \tilde{P}_1 \text{ は } n \text{ および } m \text{ の関数である。}$

$I_1 = m > 2$ の右辺に式(52), (51)を代入して演算すれば、連続円形曲りばかりの中間支点反力を求めるための基本連立方程式が次式のこととく誘導される。

$$\sum_{k=1}^m \left(\frac{2}{\alpha} H_{jk}^{t,1} + Y_1 S_{jk}^{t,1} + T_{jk}^{t,1} \right) R_{jk} = Y_1 D_{jk}^{t,1} - D_{jk}^{t,2} - \frac{E_1 I_{jk}}{r_1^2} d_{jk}^1, \quad (k=1, 2, \dots, m) \quad (53)$$

$$S_{jk}^{t,1} = \sum_{i=1}^m C_1(n) \Delta n_i \sin \alpha_i \theta_{ij} \sin \alpha_i \theta_{ik}, \quad T_{jk}^{t,1} = \sum_{i=1}^m H_1(n) \Delta n_i \sin \alpha_i \theta_{ij} \sin \alpha_i \theta_{ik}, \quad D_{jk}^{t,1} = \sum_{i=1}^m \tilde{P}_1(n) \Delta n_i \sin \alpha_i \theta_{ik}$$

$$D_{jk}^{t,2} = \sum_{i=1}^m \tilde{P}_1(n) \Delta n_i \sin \alpha_i \theta_{ik}, \quad d_{jk}^1: \text{中間支点の垂直変位量}$$

式(53)は m 元一次連立方程式であるから、これを解けば、連続円形曲りばかりの不静定力が全て算定されることとなる。表-1 はその一例を示すもので弾性支持ばかりの等長 2 スパンの場合である。えられた結果を式(48)～(50)に代入すれば、未知数 $M_{n,0}^{t,2}, M_{n,1}^{t,1}, Dro\delta_{n,1}$ のみの関数となり、これらを式(52)に代入するかに關する級数和を求めることがよりパネル①, ② の $I_1 = 2 + w_1, w_2$ が決定されることはなる。

4 結語 本題の連続扇形板の未知不静定量 $M_{n,0}, \delta_n, R_{ij}, M_{n,1}^{t,1}, M_{n,2}^{t,2}$ は 2.2.2. 項述べたこととく、一般には式(40)～(47)よりえられる連立方程式を試験算法

1. より解かねばならない。(しかし、3.1. に示すごとき簡単な連続扇形板では、式(10)～(12)から未知量 $M_{n,0}, \delta_n$ が弾性支持ばかりの中間不静定反力 $R_{ij}, M_{n,1}^{t,1}, M_{n,2}^{t,2}$ の関数として求められ、これらを式(52)に代入すれば、 $R_{ij}, M_{n,1}^{t,1}, M_{n,2}^{t,2}$ のみを未知数とする基本連立方程式がえられ、試算を用ひて未知不静定反力を算出可能となる。)

参考文献 (1) 山崎, 金子 “弾性支持ばかりをもつ扇形平板の解法” 土木学会西部支部第44年度研究発表会論文集

(2) 山崎, 橋本, 金子 “弾性支持ばかりをもつ扇形平板の解法” 土木学会第23回年次学術講演会概要 昭和43年10月

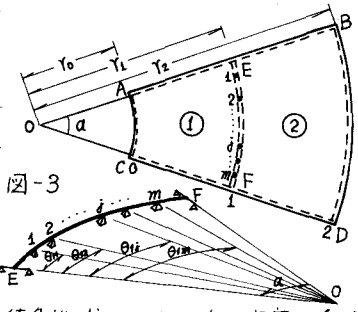


図-3

表-1

$$\begin{aligned} \alpha &= \pi/3, Y_{11} = Y_{12} = 0.3, \lambda_1^2 = \lambda_2^2 = 1, \\ X_1 &= X_2 = 1, X_1 = 10.0, M_1 = 0.649, \\ Y_1 &= 0.3127 Y_2, Y_1 = 0.6563 Y_2, Y_1 = Y_2 = 1, \\ d_1^1 &= d_2^1 = 0, \text{ 等分布荷重 (kg/m) 满載} \end{aligned}$$

j	1	2
$H_{jk}^{t,1} \times 10^2$	1	0.144245
	2	0.130660
$S_{jk}^{t,1} \times 10^2$	1	-0.56433
	2	-0.50862
$T_{jk}^{t,1} \times 10^2$	1	-0.39591
	2	-0.38450
$D_{jk}^{t,2} \times 10^2$	0.38964	0.38964
$D_{jk}^{t,1} \times 10^3$	-0.37873	-0.37873
$(R_{11} + R_{12}) / \text{全荷重} \times 100$	38.3%	